



СООБЩЕНИЯ  
ОБЪЕДИНЕННОГО  
ИНСТИТУТА  
ЯДЕРНЫХ  
ИССЛЕДОВАНИЙ  
ДУБНА

СЗ41а

K-21

5618/2-78

Д.Х.Караджов, П.П.Райчев, Р.П.Русев

25/кн-78

P4 - 11671

ЕДИНОЕ ОПИСАНИЕ ЭНЕРГЕТИЧЕСКИХ УРОВНЕЙ  
ОСНОВНОЙ И  $\gamma$ -ПОЛОСЫ ДЕФОРМИРОВАННЫХ  
ЧЕТНО-ЧЕТНЫХ ЯДЕР И  $B(E2)$ -ФАКТОРОВ  
МЕЖДУ НИМИ В СХЕМЕ SU(3)

**1978**

P4 - 11671

Д.Х.Караджов\*, И.П.Райчев, Р.Н.Русев\*

ЕДИНОЕ ОПИСАНИЕ ЭНЕРГЕТИЧЕСКИХ УРОВНЕЙ  
ОСНОВНОЙ И  $\gamma$ -ПОЛОСЫ ДЕФОРМИРОВАННЫХ  
ЧЕТНО-ЧЕТНЫХ ЯДЕР И В(E2) ФАКТОРОВ  
МЕЖДУ НИМИ В СХЕМЕ SU(3)

---

\* Институт ядерных исследований и ядерной энергетики БАН, София.

Караджов Д.Х., Райчев П.П., Русев Р.П.

P4 - 11671

Единое описание энергетических уровней основной и  $\gamma$ -полосы деформированных четно-четных ядер и  $B(E2)$  - факторов между ними в схеме SU(3)

С помощью диагонализации гамильтониана, нарушающего SU(3)-симметрию до O(3), получены выражения для волновых функций в схеме SU(3). Приведены формулы для  $B(E2)$  -факторов между основной и  $\gamma$ -полосами. С помощью единой численной аппроксимации по всем экспериментальным данным для энергий состояний основной и  $\gamma$ -полосы, а также отношений приведенных вероятностей E2 -переходов между ними вычислены параметры гамильтониана. Предсказания для  $B(E2)$  -факторов представлены в виде таблиц и сравниваются с предсказаниями обобщенной модели. Даётся сравнение с экспериментальными данными по энергиям и отношению вероятностей E2 -переходов.

Работа выполнена в Лаборатории теоретической физики ОИЯИ.

Сообщение Объединенного института ядерных исследований. Дубна 1978

Karadjov D., Raychev P., Russev R.

P4 - 11671

Unified Description in SU(3)-Scheme of the Energy Levels of Ground- and  $\gamma$ -Bands in Deformed Even-Even Nuclei and the  $B(E2)$ -Factors between Them

By diagonalization of a Hamiltonian, breaking SU(3)-symmetry to O(3) -one, one obtains the wave functions in SU(3)-scheme. Formulae for  $B(E2)$  -factors between ground- and  $\gamma$ -bands are given. Parameters entering the Hamiltonian are calculated by an unified approximation of all known experimental data on the energy levels and ratios of reduced E2 -probabilities in the two bands. Results for the  $B(E2)$ -factors are given in tables and compared to the unified model results the theoretical values for energies and  $B(E2)$ -factors are compared to the experimental ones.

The investigation has been performed at the Laboratory of Theoretical Physics, JINR.

Communication of the Joint Institute for Nuclear Research. Dubna 1978

© 1978 Объединенный институт ядерных исследований Дубна

1. В предыдущей работе /1/ мы рассмотрели вопрос об описании уровней энергии деформированных четно-четных ядер в схеме SU(3)/<sup>1-3</sup>. Результаты, полученные в рамках схемы SU(3), сравнивались с результатами разных вариантов обобщенной модели. Важно, однако, провести такое же сравнение и для  $B(E2)$  -факторов, которые получаются в модели с нарушенной SU(3)-симметрией. Настоящая работа посвящена этой проблеме. Вместе с тем, приведем и краткое описание применяемых нами методов численного анализа, с помощью которых определяются параметры гамильтониана  $G_1$ ,  $G_2$ ,  $G_3$  и квантовое число  $n$ , которое задает неприводимое представление группы SU(3).

2. Для нахождения  $B(E2)$  -факторов переходов между основной и  $\gamma$ -полосами нужно найти матричные элементы оператора  $Q$  между состояниями /1/:

$$|nTI\omega_g> = C_0^{\omega_g} \{ |nTI\alpha=0> + h_I^{\omega_g} |nTI\alpha=1> \},$$

$$|nTI\omega_\gamma> = C_0^{\omega_\gamma} \{ |nTI\alpha=0> + h_I^{\omega_\gamma} |nTI\alpha=1> \}, \quad /1/$$

при четном спине I и

$$|nTI\omega_y> = |nTI\alpha=0> \quad /2/$$

при нечетном спине I.

Коэффициенты смешивания между полосами с  $\alpha=0$  и  $\alpha=1$  имеют следующий вид:

$$h_I^{\omega_\nu} = \frac{-6[2n-3+I(I-1)] - \theta[2(n-1)^2 - I(I+1)]}{12I(I-1)} +$$

$$+ \frac{(-1)^{\delta_{\nu\gamma}} \sqrt{6(2n-3) + \theta[2(n-1)^2 - I(I+1)]^2 + 36(1+\frac{\theta}{3})I(I-1)(I+2)}}{12I(I-1)}, \quad /3/$$

где индекс  $\nu$  пробегает значения  $g$  - для основной и  $u$  для  $u$ -полосы, а  $\theta = -C_3/G_2$ . Коэффициенты  $h_I^{\omega_\nu}$  определены с помощью уравнений /5/ и /6/ работы /1/ а  $C_0^\omega$  в /1/ определяются из условия нормировки.

Если воспользоваться соотношением /2/

$$Q_0[nT] \omega = \sum_a \sum_{k=0,1,2} C_a^{\omega} a_s^{(k)} (L_s)^k [n, T, I; k, a+s], \quad /54/$$

где коэффициенты  $a_s^{(k)}$  вычислены в /3,4/, можно получить явные выражения для приведенных  $B(E2)$ -факторов. В данной работе мы рассматриваем следующие отношения приведенных  $E2$ -переходов между основной и  $u$ -полосами:

$$1/ \frac{2\gamma \rightarrow 2g}{2\gamma \rightarrow 0} = \frac{35(n-1)(n-4)}{2[y_2 + z_2 h_2^{\omega g} + w_2 (h_2^{\omega g})^2]} \times$$

$$- \left[ \frac{c_1(2) + h_2^{\omega g} (c'_0(2) - c_0(2) - c_{-1}(2) h_2^{\omega g})}{a_0(0) - 2 - 2h_2^{\omega g}} \right]^2, \quad /5/$$

2/  $I \neq 0$   $I$  - четное.

$$\frac{(I+2)\gamma \rightarrow (I+2)g}{(I+2)\gamma \rightarrow (I)g} = \frac{(2I+7)(I+3)(2I+5)(n-I-4)}{6(I+2)I(I-1)(n+I-1)} \times$$

$$\times \frac{y_I + z_I h_I^{\omega g} + w_I (h_I^{\omega g})^2}{y_{I+2} + z_{I+2} h_{I+2}^{\omega g} + w_{I+2} (h_{I+2}^{\omega g})^2} \times$$

$$\times \left[ \frac{c_1(I+2) + h_{I+2}^{\omega g} (c'_0(I+2) - c_0(I+2) - c_{-1}(I+2) h_{I+2}^{\omega g})}{a_0(I+2) h_I^{\omega g} - 2h_I^{\omega g} h_{I+2}^{\omega g} - a_0(I) h_{I+2}^{\omega g}} \right]^2, \quad /6/$$

3/  $I \neq 0$   $I$  - четное.

$$\frac{(I)\gamma \rightarrow (I+2)g}{(I)\gamma \rightarrow (I)g} = \frac{6I^2 (2I-1)(I-1)(n+I-1)}{(2I+3)^2 (2I+1)(I+1)(n+I-4)} \times$$

$$\times \frac{(h_I^{\omega g} - h_{I+2}^{\omega g})^2}{(h_{I+2}^{\omega g} - h_{I+2}^{\omega g})^2} \times \frac{y_{I+2} + z_{I+2} h_{I+2}^{\omega g} + w_{I+2} (h_{I+2}^{\omega g})^2}{y_I + z_I h_I^{\omega g} + w_I (h_I^{\omega g})^2} \times$$

$$\times \left[ \frac{a_0(I) h_{I+2}^{\omega g} + 2h_I^{\omega g} h_{I+2}^{\omega g} - a_0(I+2) h_I^{\omega g}}{c_1(I) + h_I^{\omega g} (c'_0(I) - c_0(I) - c_{-1}(I) h_I^{\omega g})} \right]^2, \quad /7/$$

4/  $I \neq 0$   $I$  - четное

$$\frac{(I+1)\gamma \rightarrow (I+2)g}{(I+1)\gamma \rightarrow (I)g} = \frac{I(I+2)(I+3)(2I+5)}{(I+1)^3 (2I+3)} \times$$

$$\times \left[ \frac{-f_1(I) + f_0(I) h_{I+2}^{\omega g}}{b_0(I) - b_1(I) h_I^{\omega g}} \right]^2 \cdot \frac{A_I A_{I+2}}{N(h_{I+2}^{\omega g} - h_{I+2}^{\omega g})^2}, \quad /8/$$

где

$$A_I = \frac{2(n-I-4)!!(n+I-3)!!(I-2)!}{(2I+1)!!} \times$$

/9/

$$\times [y_I + z_I h_I^{\omega g} + w_I (h_I^{\omega g})^2],$$

а

$$N = \sum_{t=0}^{\frac{n-I-4}{2}} \left\{ \left[ \frac{n-I-4}{2} \right]! \right\}^2 \frac{2^{2t} (n-I-t-4)!(I+t-1)!}{t! \left\{ \left[ \frac{n-I-4}{2} - t \right]! \right\}^2} \times$$

/10/

$$\times \{(I+t)(I+t+1)(3n-2I-4t-4) + 2(I+t)(n-I-2t+3) \times$$

$$\times (2n-2I-3t-3) + 2(n-I-2t-3)(n-I-2t-2)(n-I-2t-1)\} +$$

$$+ \sum_{t=1}^{\frac{n-I-4}{2}} 2^{2t+1} \left\{ \left[ \frac{n-I-4}{2} \right]! \right\} \frac{(I+t-1)!(n-I-2t-2)!(n-t-4)}{\left[ \frac{n-I-4}{2} - t \right]! \left[ \frac{n-I-2}{2} - t \right]!(t-1)!}.$$

Во всех вышеописанных случаях использованы следующие обозначения

$$y_I = (n-I-2) [(n+I-1)(I^2+I+1) - 2I-1],$$

$$z_I = 2(n-I-2)(n+I)I(I-1),$$

$$w_I = [2(n-1)^2 - I(I+1)]I(I-1),$$

$$a_0(I) = n - I - 2,$$

$$c_1(I) = \frac{-12(n-I-2)}{(2I+3)(I+1)},$$

$$e_0(I) = -2(n-I-2) \frac{I(I+1)-12}{(2I+3)(I+1)} - I + 4,$$

$$e'_0(I) = 4 \frac{I(I+1)-3I^2}{(2I+3)(I+1)} - 2(n-I-4) \frac{I}{2I+3} - I,$$

$$c_{-1}(I) = \frac{12I(I-1)}{(2I+3)(I+1)},$$

$$b_0(I) = \frac{12(n-I-2)}{(I+1)(I+2)},$$

$$b_1(I) = - \frac{12I}{(I+1)(I+2)},$$

$$f_0(I) = \frac{12(n-I-4)}{(I+2)(I+3)} + \frac{6}{I+2},$$

$$f_1(I) = - \frac{6(n-I-4)}{(I+2)(I+3)}. \quad /11/$$

Формулы /5/, /6/, /7/, /8/ показывают, что отношения приведенных вероятностей E2-переходов зависят от параметров гамильтониана /1/ только посредством функций  $h_I^{\omega}$  /3/, которые, в свою очередь, зависят только от отношения  $\theta = -G_3/G_2$ . Конечно, они зависят еще и от квантового числа  $n$ , которое определяет неприводимое представление группы  $SU(3)$  и дает максимальный угловой момент для основной полосы ( $I^{\max} = n-4$ ). Строго говоря,  $n$  должно определяться из более фундаментальной теории /типа, например, работы /5/, позволяющей предсказать, какие мультиплеты  $SU(3)$  должны наблюдаться в спектре конкретного ядра. Поскольку

в данный момент такой теории не существует, в этой работе мы определяем  $n$  из условия наилучшего совпадения теоретических и экспериментальных значений для энергий и отношений  $B(E2)$ -факторов /см. значение 1 в п. 3/. Нужно, однако, отметить, что выбор числа  $n$  влияет на значение параметров  $C_1, C_2, C_3$ , и поэтому с физической точки зрения этот вопрос остается открытым.

На рис. 1 показана зависимость отношения  $\frac{2\gamma \rightarrow 0}{2\gamma \rightarrow 2g}$

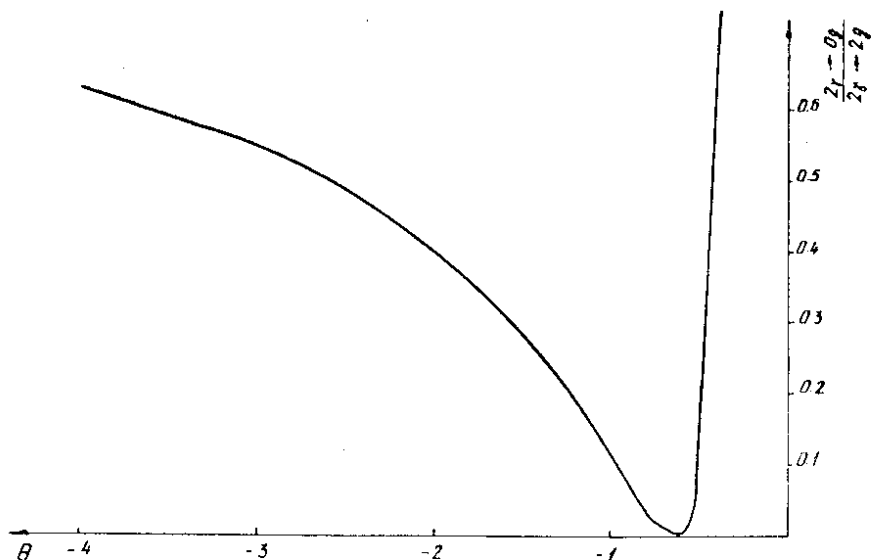


Рис. 1. Зависимость отношения  $\frac{2\gamma \rightarrow 0}{2\gamma \rightarrow 2g}$  от параметра  $\theta = -\frac{C_3}{C_2}$ .

от параметра  $\theta$  при  $n=14$  в области  $\theta=-5$  до  $\theta=0$ . Из этого рисунка видно, что физическая область для  $\theta$  отвечает значениям  $\theta < 0$ ; при  $\theta \rightarrow 0$  отношение переходов стремится к бесконечности, а при  $\theta \rightarrow \infty$  - стремится к постоянной величине /≈ 20/. Как было показано в /1/.

в модели МП из энергетических соображений знак параметра  $C_3$  должен быть отрицательным. Чтобы получить хорошее согласие с экспериментом и для отношения приведенных вероятностей  $E2$ -переходов, отношение  $\theta = -C_3/C_2$  должно быть меньше нуля. Следовательно, в модели МП  $C_3/C_2$  должно быть отрицательным. Из табл. 2 работы /1/ видно, что отношение коэффициентов  $C_3$  и  $C_2$ /т.е.  $\theta$ /, определенное из чисто энергетических соображений, хотя и имеет правильный знак, не соответствует нужному значению  $\theta$  /рис. 1/ для корректного описания  $B(E2)$ -факторов /здесь  $\theta \sim -0,4$ , а нужно  $\theta < -1$ /.

Таким образом, из вышеуказанных соображений следует:

а/ модель  $M1(C_3=0)$  работы /1/ не может объяснить отношения приведенных вероятностей  $E2$ -переходов между основной и  $\gamma$ -ротационной полосами, тогда как модель  $M_P /C_3 \neq 0/$  работы /1/ в принципе, может дать хорошие результаты, тем самым указывая на важность оператора  $A^\dagger A$  /число "a" - подобных образований/ в операторе нарушения  $SU(3)$ -симметрии  $V$  /1/;

б/ модель с нарушенной  $SU(3)$ -симметрией дает формулы для  $B(E2)$ -факторов с более сложной зависимостью от углового момента, чем обобщенная модель с учетом смешивания полос до первого порядка /6/, где получается

$$B(E2; K=2, I_i \rightarrow K=0, I_f) = 2M_1^2 \langle I_i | 22-2| I_f | 0 \rangle^2 \times \\ \times [1 - \frac{Z_2}{2} (I_f(I_f+1) - I_i(I_i+1))]. \quad /12/$$

Здесь  $Z_2$  - подгоночный параметр, а  $M_1$  - число, постоянное для конкретного ядра.

3. Остановимся на задаче о численном определении параметров гамильтониана /2/ работы /1/  $C_1, C_2$  и  $C_3$ . Пусть  $Y_{1i}$  ( $i=1, \dots, k_1$ ) - совокупность экспериментальных значений уровней энергии основной полосы,  $Y_{2i}$  ( $i=k_1+1, \dots, k_2$ ) - совокупность экспериментальных значений уровней энергии  $\gamma$ -полосы и  $Y_{3i}$  ( $i=k_2+1, \dots, k$ ) - совокупность экспе-

риментальных данных об отношениях приведенных вероятностей E2-переходов. Тогда задача по определению параметров  $C_1$ ,  $C_2$  и  $C_3$  сводится к решению векторного уравнения

/13/

$$F_n x = y,$$

$$x = [C_1, C_2, C_3]^T \in R^{3^*},$$

$$F_n x = [f_n^{(1,1)}(x), \dots, f_n^{(1,k_1)}(x), f_n^{(2,k_1+1)}(x), \dots, f_n^{(2,k_2)}(x), f_n^{(3,k_2+1)}(x), \dots, f_n^{(3,k)}(x)]^T \in R^{3k}$$

$$y = [Y_{1,1}, \dots, Y_{1,k_1}, Y_{2,k_1+1}, \dots, Y_{2,k_2}, Y_{3,k_2+1}, \dots, Y_{3k}]^T \in R^{3k}$$

параметр  $n$  - число, определяющее неприводимое представление группы  $SU(3)$ .

В уравнении /13/ функции  $f_n^{(\alpha,i)}(x)$  представляют теоретические выражения соответственно для энергий состояний основной и  $\gamma$ -полосы /выражения /6/ и /7/ работы /1// и для отношений приведенных вероятностей E2-переходов /выражения /5/, /6/, /7/ и /8//.

Для решения уравнений /13/ используется авторегуляризованный итерационный метод типа Гаусса-Ньютона /7/. Этот метод сводит решение уравнения /13/ к решению преобразованной задачи

$$F' T(x) F x = F' T(x) y. \quad ** \quad /14/$$

Применяемый метод позволяет решать уравнения типа /13/ в случае плохой обусловленности матрицы  $F' T(x) F$  в области искомого решения /11/. Этот метод

\*  $x^T$  - обозначает матрицу, транспонированную к матрице  $x$ .

\*\*  $F'(x)$  обозначает матрицу Якоби оператора  $Fx$  в точках  $x$ .

также обладает сходимостью при относительно плохих начальных приближениях /при практическом решении задач /13/ применялась программа COMPIL<sup>8</sup>/.

Замечание 1. Квантовое число  $n$  мы определяли на основе соотношения

$$\|F_n x - y\|_2 = \min_{n' \in N} \|F_{n'} x - y\|_2 \quad /15/$$

где множество  $N$  выбиралось из физических соображений.

В таблице 1 приведены значения параметров  $C_1, C_2, C_3$  и  $n$ , которые получаются при включении всей экспериментальной информации ядра /энергии и  $B(E2)$ -факторы/ в случае 24 ядер. В табл. 2 даны энергетические уровни основной и  $\gamma$ -полос, вычисленные с помощью параметров табл. 1. Экспериментальные значения взяты из /9/. Рисунки 2-6 иллюстрируют различные отношения между  $B(E2)$ -факторами. Здесь показана и экспериментальная ситуация /9/, а также делается сравнение с результатами, полученными с помощью выражения /12/. Численные значения параметра  $z_2$  формулы /12/ взяты из /10/.

Авторы благодарны И.Н.Михайлову, Г.Н.Афанасьеву и Й.Ниперовой за полезные обсуждения, а также проф. В.Г.Соловьеву за постоянное внимание к работе.

Таблица 1

Коэффициенты  $G_1$ ,  $G_2$ ,  $G_3$  в КэВ и квантовое число  $\eta$  /см. зам. 1, п. 3/, вычисленные по экспериментальным данным для энергий состояний основной и у-ротационной полос и  $B(E2)$ -факторов между ними.

| Ядро              | $\eta$ | $G_1$  | $G_2$  | $G_3$  |
|-------------------|--------|--------|--------|--------|
| $^{152}\text{Sm}$ | 34     | -0,244 | -0,244 | -0,281 |
| $^{154}\text{Sm}$ | 34     | -9,398 | -0,330 | -0,379 |
| $^{154}\text{Gd}$ | 16     | -2,579 | -0,580 | -1,302 |
| $^{156}\text{Gd}$ | 18     | 1,400  | -0,305 | -1,704 |
| $^{158}\text{Gd}$ | 28     | 5,340  | -0,120 | -0,409 |
| $^{160}\text{Dy}$ | 30     | 5,280  | -0,132 | -0,294 |
| $^{162}\text{Dy}$ | 24     | 7,810  | -0,094 | -0,411 |
| $^{164}\text{Dy}$ | 18     | 4,110  | -0,188 | -0,687 |
| $^{164}\text{Er}$ | 24     | 3,450  | -0,222 | -0,428 |
| $^{166}\text{Er}$ | 28     | 4,610  | -0,138 | -0,275 |
| $^{168}\text{Er}$ | 30     | 6,430  | -0,101 | -0,244 |
| $^{168}\text{Yb}$ | 42     | 5,660  | -0,092 | -0,148 |
| $^{170}\text{Yb}$ | 26     | 0,950  | -0,236 | -0,484 |
| $^{172}\text{Yb}$ | 30     | 4,900  | -0,122 | -0,445 |
| $^{176}\text{Hf}$ | 12     | -8,140 | -0,731 | -3,120 |
| $^{178}\text{Hf}$ | 28     | 9,160  | -0,085 | -0,400 |
| $^{180}\text{Hf}$ | 30     | 8,300  | -0,103 | -0,355 |
| $^{182}\text{W}$  | 22     | 8,100  | -0,157 | -0,700 |
| $^{184}\text{W}$  | 28     | 6,200  | -0,180 | -0,322 |
| $^{186}\text{W}$  | 14     | 4,400  | -0,514 | -1,201 |
| $^{182}\text{Os}$ | 26     | 9,200  | -0,164 | -0,369 |
| $^{184}\text{Os}$ | 32     | 12,700 | -0,078 | -0,242 |
| $^{186}\text{Os}$ | 32     | 9,000  | -0,173 | -0,208 |
| $^{188}\text{Os}$ | 32     | 10,100 | -0,183 | -0,172 |

Таблица 2

Уровни энергий основной и у-ротационной полос, вычисленные с помощью коэффициентов табл. 1.

| Ядро              | $\eta$ | основная полоса |         |         | ротационная полоса |         |         |
|-------------------|--------|-----------------|---------|---------|--------------------|---------|---------|
|                   |        | 1               | 2       | 3       | 4                  | 5       | 6       |
| $^{152}\text{Sm}$ | 2      | 121,78          |         | 96,95   | 2                  | 1085,80 | 1128,32 |
|                   | 4      |                 | 366,44  | 322,81  | 3                  | 1233,80 | 1221,09 |
|                   | 6      |                 | 706,90  | 676,70  | 4                  | 1371,60 | 1347,17 |
|                   | 8      |                 | 1125,60 | 1157,15 |                    |         |         |
| $^{154}\text{Sm}$ | 2      | 82,00           |         | 77,00   | 2                  | 1440,00 | 1466,26 |
|                   | 4      |                 | 286,90  | 256,19  | 3                  | 1540,00 | 1538,71 |
|                   | 6      |                 | 544,30  | 536,34  | 4                  | 1660,30 | 1636,01 |
|                   | 8      |                 | 903,40  | 915,50  |                    |         |         |
| $^{154}\text{Gd}$ | 2      | 123,10          |         | 101,05  | 2                  | 996,30  | 1055,02 |
|                   | 4      |                 | 371,40  | 335,90  | 3                  | 1127,90 | 1140,45 |
|                   | 6      |                 | 717,80  | 707,98  | 4                  | 1263,90 | 1255,67 |
|                   | 8      |                 | 1144,60 | 1194,31 | 5                  | 1432,50 | 1396,99 |
| $^{156}\text{Gd}$ | 2      | 89,00           |         | 81,94   | 2                  | 1154,10 | 1189,70 |
|                   | 4      |                 | 288,20  | 273,30  | 3                  | 1248,00 | 1258,75 |
|                   | 6      |                 | 584,70  | 574,47  | 4                  | 1355,30 | 1350,62 |
|                   | 8      |                 | 965,40  | 986,22  | 5                  | 1506,80 | 1465,89 |
| $^{158}\text{Gd}$ | 2      | 79,50           |         | 75,37   | 2                  | 1187,10 | 1186,72 |
|                   | 4      |                 | 261,40  | 251,25  | 3                  | 1265,40 | 1257,18 |
|                   | 6      |                 | 539,00  | 527,68  | 4                  | 1358,40 | 1351,10 |
|                   | 8      |                 | 906,60  | 904,73  | 5                  | 1481,30 | 1468,55 |
|                   |        |                 |         |         | 6                  | 1579,00 | 1609,36 |

Таблица 2 /продолжение/

|                   | 1 | 2       | 3       | 4 | 5       | 6       | 7 |
|-------------------|---|---------|---------|---|---------|---------|---|
| $^{160}\text{Dy}$ | 2 | 86,90   | 80,47   | 2 | 966,10  | 976,55  |   |
|                   | 4 | 283,80  | 268,18  | 3 | 1049,10 | 1053,49 |   |
|                   | 6 | 581,00  | 563,01  | 4 | 1155,90 | 1156,15 |   |
|                   | 8 | 967,00  | 964,74  | 5 | 1283,50 | 1284,32 |   |
|                   |   |         |         | 6 | 1433,10 | 1438,52 |   |
| $^{162}\text{Dy}$ | 2 | 80,70   | 77,94   | 2 | 868,20  | 903,54  |   |
|                   | 4 | 265,70  | 260,00  | 3 | 963,00  | 972,15  |   |
|                   | 6 | 548,50  | 546,71  | 4 | 1061,00 | 1063,35 |   |
|                   | 8 | 920,90  | 939,08  | 5 | 1182,60 | 1177,94 |   |
|                   |   |         |         | 6 | 1324,60 | 1313,88 |   |
|                   |   |         |         | 7 | 1468,70 | 1475,18 |   |
|                   |   |         |         |   |         |         |   |
| $^{164}\text{Dy}$ | 2 | 73,40   | 70,24   | 2 | 761,80  | 781,54  |   |
|                   | 4 | 242,20  | 234,26  | 3 | 828,20  | 843,54  |   |
|                   | 6 | 501,30  | 492,34  | 4 | 961,00  | 926,05  |   |
|                   | 8 | 839,00  | 845,05  | 5 | 1024,60 | 1029,51 |   |
|                   |   |         |         | 6 | 1154,00 | 1152,79 |   |
| $^{164}\text{Er}$ | 2 | 91,40   | 85,80   | 2 | 860,30  | 867,26  |   |
|                   | 4 | 299,50  | 285,76  | 3 | 945,30  | 947,92  |   |
|                   | 6 | 614,30  | 599,30  | 4 | 1058,30 | 1055,78 |   |
|                   | 8 | 1024,30 | 1025,42 | 5 | 1197,50 | 1189,95 |   |
|                   |   |         |         | 6 | 1358,30 | 1352,72 |   |
|                   |   |         |         | 7 | 1544,30 | 1539,54 |   |
|                   |   |         |         | 8 | 1742,00 | 1759,06 |   |
|                   |   |         |         |   |         |         |   |
| $^{166}\text{Er}$ | 2 | 80,60   | 74,93   | 2 | 765,90  | 784,56  |   |
|                   | 4 | 265,00  | 249,69  | 3 | 859,40  | 856,20  |   |
|                   | 6 | 545,40  | 524,04  | 4 | 956,20  | 951,85  |   |
|                   | 8 | 911,20  | 897,58  | 5 | 1075,30 | 1071,15 |   |
|                   |   |         |         | 6 | 1215,90 | 1215,01 |   |
|                   |   |         |         | 7 | 1376,00 | 1381,62 |   |
|                   |   |         |         | 8 | 1555,70 | 1574,41 |   |
|                   |   |         |         |   |         |         |   |

Таблица 2 /продолжение/

|                   | 1 | 2       | 3       | 4 | 5       | 6       | 7 |
|-------------------|---|---------|---------|---|---------|---------|---|
| $^{168}\text{Er}$ | 2 | 79,80   | 75,94   | 2 | 821,20  | 825,37  |   |
|                   | 4 | 264,10  | 253,12  | 3 | 895,80  | 898,39  |   |
|                   | 6 | 548,70  | 531,47  | 4 | 994,80  | 995,78  |   |
|                   | 8 | 928,30  | 910,88  | 5 | III7,60 | III7,44 |   |
|                   |   |         |         | 6 | I263,90 | I263,64 |   |
|                   |   |         |         | 7 | I433,00 | I433,85 |   |
|                   |   |         |         | 8 | I623,00 | I629,06 |   |
| $^{168}\text{Yb}$ | 2 | 87,70   | 80,44   | 2 | 983,80  | 986,47  |   |
|                   | 4 | 286,50  | 268,08  | 3 | I067,00 | I065,I2 |   |
|                   | 6 | 585,60  | 562,82  | 4 | II72,20 | II70,06 |   |
|                   | 8 | 970,00  | 964,49  | 5 | I302,30 | I301,II |   |
|                   |   |         |         | 6 | I445,10 | I458,69 |   |
| $^{170}\text{Yb}$ | 2 | 84,30   | 81,02   | 2 | II38,50 | II45,58 |   |
|                   | 4 | 277,30  | 269,91  | 3 | I225,40 | I220,08 |   |
|                   | 6 | 573,20  | 566,22  | 4 | I325,00 | I321,33 |   |
|                   | 8 | 962,70  | 969,24  | 5 | I445,00 | I446,50 |   |
| $^{172}\text{Yb}$ | 2 | 78,70   | 76,56   | 2 | I465,70 | I485,98 |   |
|                   | 4 | 260,10  | 255,23  | 3 | I549,20 | I557,20 |   |
|                   | 6 | 539,80  | 536,05  | 4 | I657,90 | I652,I2 |   |
|                   | 8 | 911,30  | 919,14  | 5 | I792,30 | I770,84 |   |
| $^{176}\text{Hf}$ | 2 | 88,30   | 80,86   | 2 | I341,30 | I370,90 |   |
|                   | 4 | 290,20  | 271,46  | 3 | I445,80 | I414,27 |   |
|                   | 6 | 597,10  | 577,97  |   |         |         |   |
|                   | 8 | 998,00  | 1018,16 |   |         |         |   |
| $^{178}\text{Hf}$ | 2 | 93,20   | 86,91   | 2 | II74,80 | II94,35 |   |
|                   | 4 | 306,60  | 289,73  | 3 | I268,90 | I276,46 |   |
|                   | 6 | 632,20  | 608,57  | 4 | I384,60 | I385,89 |   |
|                   | 8 | 1058,60 | 1043,57 | 5 | I533,60 | I522,78 |   |
|                   |   |         |         | 6 | I691,40 | I686,76 |   |
| $^{180}\text{Hf}$ | 2 | 93,20   | 89,21   | 2 | II99,80 | I209,20 |   |
|                   | 4 | 308,60  | 297,37  | 3 | I291,20 | I294,I3 |   |
|                   | 6 | 640,80  | 624,53  | 4 | I409,00 | I407,37 |   |
|                   | 8 | 1083,90 | 1070,74 |   |         |         |   |

Таблица 2 /продолжение/

| I                 | 2 | 3       | 4       | 5 | 6       | 7       |
|-------------------|---|---------|---------|---|---------|---------|
| $^{182}\text{W}$  | 2 | 100,10  | 95,8I   | 2 | I22I,40 | I245,25 |
|                   | 4 | 329,40  | 3I9,47  | 3 | I33I,10 | I332,66 |
|                   | 6 | 680,40  | 67I,26  | 4 | I442,80 | I449,05 |
|                   | 8 | II44,00 | II5I,66 | 5 | I623,50 | I594,84 |
|                   |   |         |         | 6 | I768,60 | I768,98 |
| $^{184}\text{W}$  | 2 | III,20  | 98,86   | 2 | 903,20  | 9I6,7I  |
|                   | 4 | 364,00  | 329,36  | 3 | I005,90 | I0I3,7I |
|                   | 6 | 748,30  | 69I,II  | 4 | II33,80 | II40,60 |
|                   |   |         |         | 5 | I294,90 | I296,74 |
| $^{186}\text{W}$  | 2 | I22,60  | II7,8I  | 2 | 737,50  | 76I,54  |
|                   | 4 | 396,60  | 39I,7I  | 3 | 86I,80  | 864,92  |
|                   | 6 | 808,50  | 8I8,93  | 4 | I03I,30 | I004,I2 |
| $^{182}\text{Os}$ | 2 | I26,90  | I08,25  | 2 | 891,20  | 929,72  |
|                   | 4 | 400,50  | 360,73  | 3 | I039,20 | I033,54 |
|                   | 6 | 794,70  | 757,25  | 4 | II90,50 | II72,08 |
|                   | 8 | I279,20 | I297,44 |   |         |         |
| $^{184}\text{Os}$ | 2 | II9,80  | I07,94  | 2 | 942,80  | 978,77  |
|                   | 4 | 383,80  | 359,79  | 3 | I08I,00 | I083,80 |
|                   | 6 | 774,10  | 755,56  | 4 | I225,I0 | I223,84 |
|                   | 8 | I275,I0 | I295,27 | 5 | I428,30 | I398,89 |
| $^{186}\text{Os}$ | 2 | I37,50  | II9,7I  | 2 | 767,50  | 790,20  |
|                   | 4 | 434,00  | 398,75  | 3 | 9I0,40  | 907,4I  |
|                   | 6 | 869,10  | 836,47  | 4 | I079,40 | I064,07 |
|                   | 8 | I420,90 | I43I,77 | 5 | I275,60 | I259,I2 |
|                   |   |         |         | 6 | I49I,30 | I495,23 |
|                   |   |         |         | 7 | I752,50 | I767,I4 |
|                   |   |         |         |   |         |         |
| $^{188}\text{Os}$ | 2 | I55,00  | I29,67  | 2 | 633,00  | 655,62  |
|                   | 4 | 477,90  | 43I,78  | 3 | 789,80  | 783,22  |
|                   | 6 | 939,80  | 905,25  | 4 | 965,50  | 953,97  |
|                   | 8 | I5I3,60 | I548,34 |   |         |         |

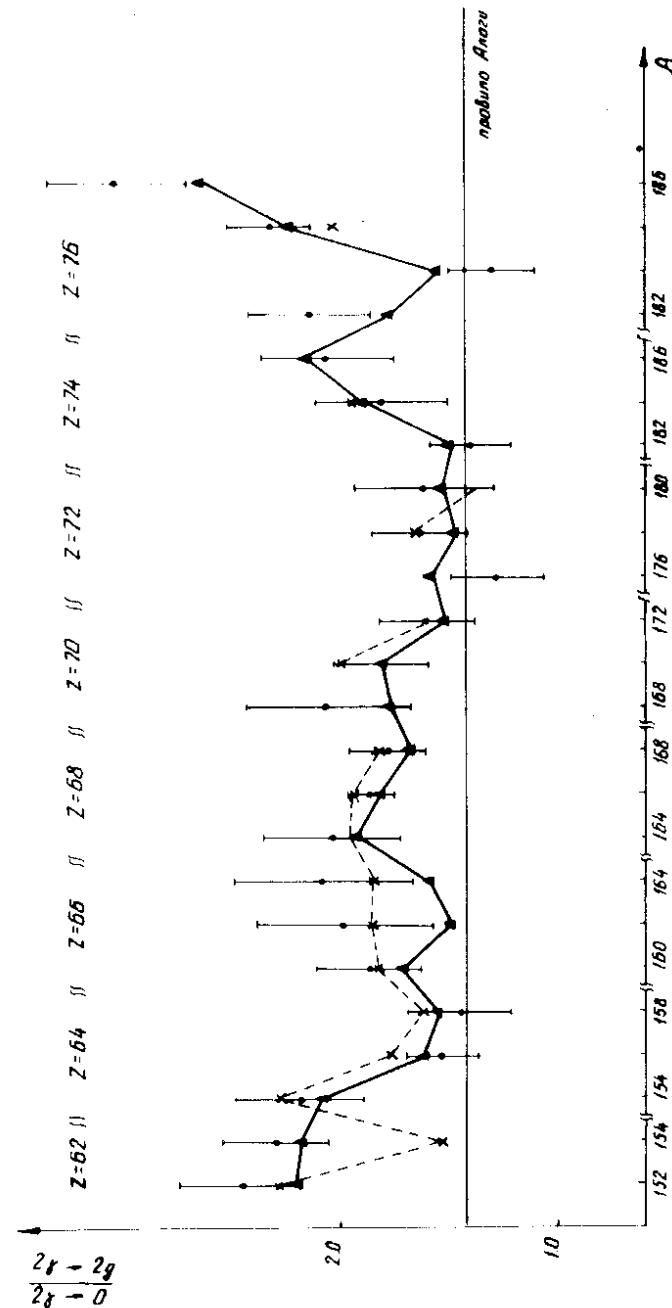


Рис.2. Сравнение ожидаемых значений  $B(E2)$  для распада  $2^+$ -состояния  $\gamma$ -полосы в  $O_{+}$ -и  $2^+$ -состояния основной полосы с предсказанными моделями с нарушенной  $SU(3)$ -симметрией /сплошная линия/ и обобщенной моделью /12/ /штриховая линия/.

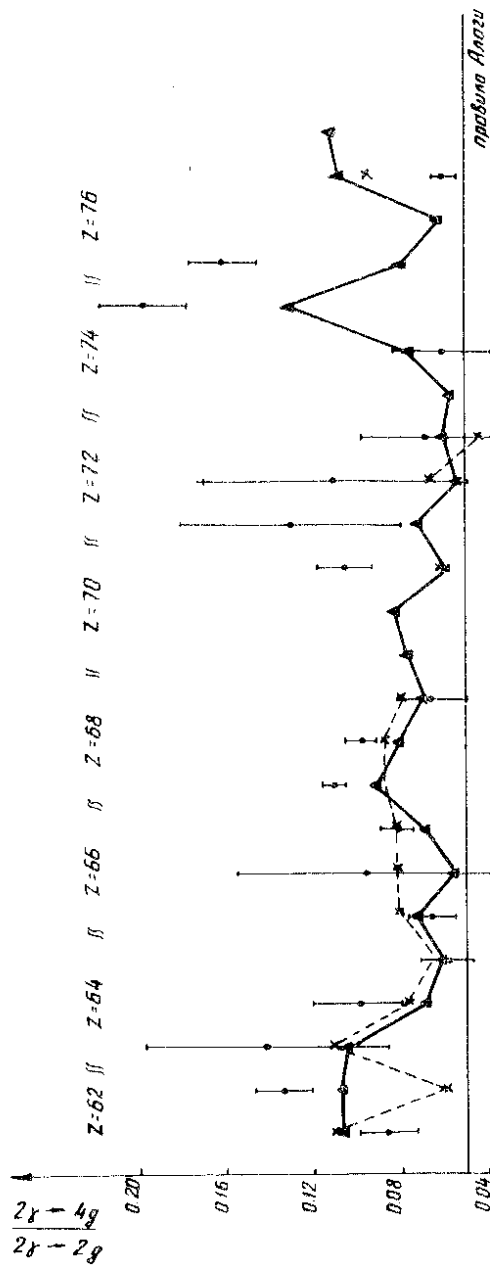


Рис. 3. Сравнение отношения значений  $B(E2)$  для распада  $2^+$ -состояния  $\gamma$ -полосы в  $2_+^+$ -и  $4_+$ -состояния основной полосы с предсказаниями модели с нарушенной  $SU(3)$ -симметрией/сплошная линия/ и обобщенной модели /12/ /штриховая линия/.

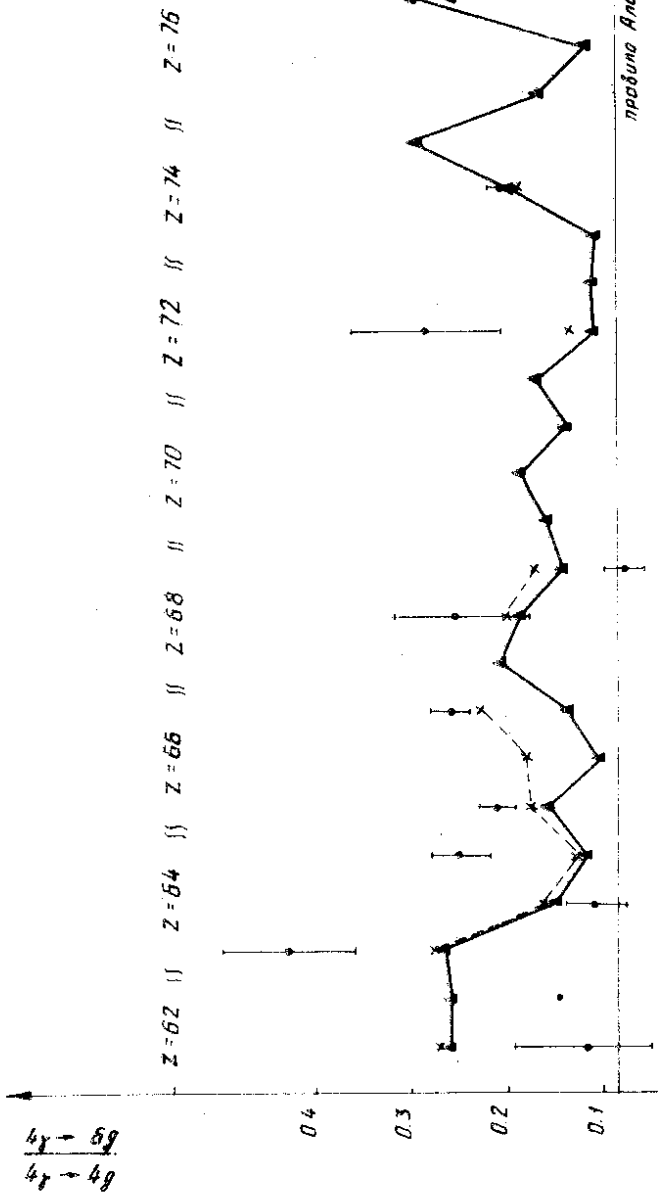


Рис. 4. Сравнение отношения значений  $B(E2)$  для распада  $4^+$ -состояния  $\gamma$ -полосы в  $4_-^+$ -и  $6_-^+$ -состояния основной  $SU(3)$ -симметрией/сплошная линия/ и обобщенной модели /12/ /штриховая линия/.

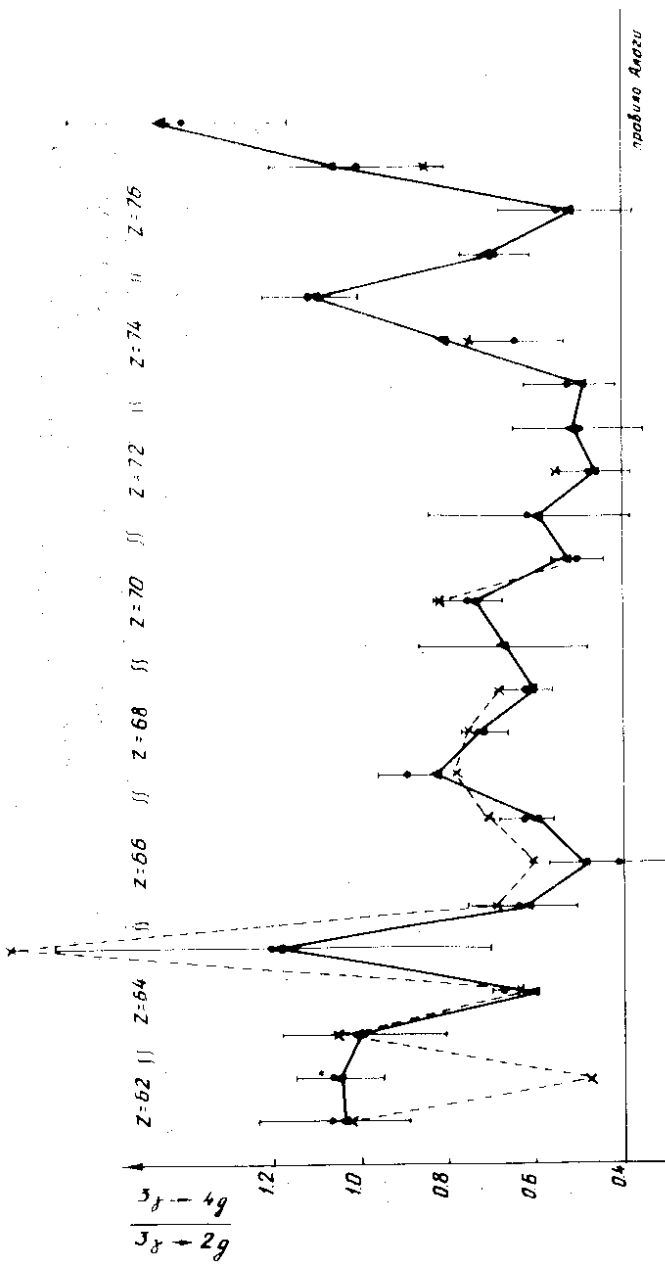


Рис. 5. Сравнение относительных значений  $B(E2)$  для распада  $3^+$ -состояния  $\gamma$ -полосы в  $4^+_1$  и  $2^+_1$ -состояния основной полосы с предсказаниями модели с нарушенной  $SU(3)$ -симметрией /сплошная линия/ и обобщенной модели /12/ /штриховая линия/.

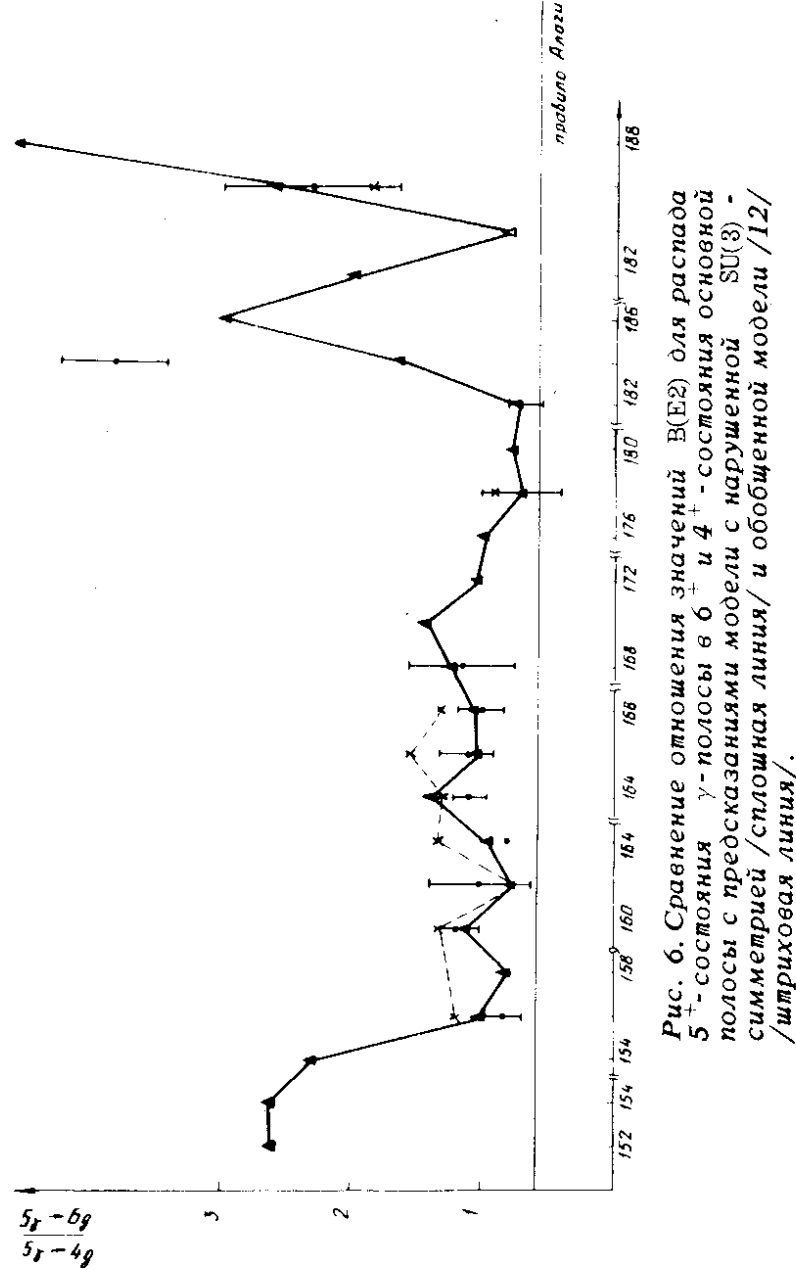


Рис. 6. Сравнение относительных значений  $B(E2)$  для распада  $5^+$ -состояния  $\gamma$ -полосы в  $6^+_1$  и  $4^+_1$ -состояния основной полосы с предсказаниями модели с нарушенной  $SU(3)$ -симметрией /сплошная линия/ и обобщенной модели /12/ /штриховая линия/.

## ЛИТЕРАТУРА

1. Караджов Д. и др. *ОИЯИ, Р4-11670*, Дубна, 1978.
2. Райчев П.П., Русев Р.П. *ЯФ*, 1978, 27, вып. 6.
3. Афанасьев Г.Н., Аврамов С.Р., Райчев П.П. *ЯФ*, 1972, 16, с. 53.
4. Райчев П.П. *ЯФ*, 1972, 16, с. 1171.
5. Vanagas V. In: *Microscopic Nuclear Theory Lecture Notes*, Toronto University, 1977.
6. Михайлов В.М. *Известия АН СССР, сер. физ.* т. 30, 1966, с. 1334.
7. Александров Л. *ЖВМ и МФ*, 1971, т. 11, с. 1: *ОИЯИ, Р5-5511*, Дубна, 1970.
8. Александров Л. *Регуляризованные процессы ньютона-новского типа для решений на ЭВМ нелинейных систем и уравнений*. *ОИЯИ, Б1-5-9969*, Дубна, 1976.
9. Григорьев Е.П., Соловьев В.Г. *Структура четных деформированных ядер*. "Наука", М., 1977.
10. Пиперова Й. *Автореферат диссертации*, *ОИЯИ, 4-9335*, Дубна, 1977.

Рукопись поступила в издательский отдел  
3 августа 1978 года.